

# КОНЕЧНО-ЧАСТОТНАЯ ИДЕНТИФИКАЦИЯ: ДИНАМИЧЕСКИЙ АЛГОРИТМ

А.Г. Александров, Ю.Ф. Орлов

Предложен новый алгоритм конечно-частотной идентификации линейного устойчивого объекта в присутствии неизвестного ограниченного возмущения, позволяющий получить более высокую точность. Доказана его сходимость.

**Ключевые слова:** идентификация, линейные системы, частотный подход, неизвестные ограниченные возмущения.

## ВВЕДЕНИЕ

К настоящему времени разработан ряд методов идентификации объектов управления, описываемых линейными дифференциальными уравнениями. Эти методы условно можно разделить на две группы в зависимости от предположений о помехах измерения и внешних возмущениях, приложенных к объекту.

Первую из них составляют методы идентификации объектов, помехи и внешние возмущения в которых — случайные процессы с известными статистическими характеристиками. Это различные варианты метода наименьших квадратов и метода стохастической аппроксимации. Их описание приводится в известных книгах [1, 2].

Вторая группа — это методы идентификации при неизвестных ограниченных помехах и внешних возмущениях (с неизвестными статистическими характеристиками): рандомизированные алгоритмы [3, 4] и конечно-частотная идентификация [5].

Особое место занимает метод инструментальных переменных [2, 6]. Разработанный в рамках первой группы он применим, в отличие от других методов этой группы, для решения задач второй группы, и поэтому будем относить его к последней.

Процесс идентификации может быть пассивным либо активным. В случае пассивной идентификации измеряемым входом объекта служит управление, которое зависит от целей объекта и не связано с задачей идентификации. Может случиться что при таком входе идентификация объекта не-

возможна. В связи с этим применяется активная идентификация, при которой измеряемый вход объекта содержит наряду с управлением дополнительное воздействие (испытательный сигнал), предназначенное для идентификации объекта.

Метод конечно-частотной идентификации предназначен для активной идентификации. Испытательный сигнал представляет собой сумму гармоник с автоматически настраиваемыми (самонастраиваемыми) амплитудами и частотами. Число этих гармоник не превышает размерности вектора состояний объекта управления. Самонастройка амплитуд осуществляется для выполнения требований к допустимым границам входа и выхода объекта, которые выполняются, когда испытательный сигнал отсутствует.

Полезно сравнить возможности метода конечно-частотной идентификации с другими методами второй группы, которые являются более общими и могут применяться как для пассивной, так и для активной идентификации.

Рандомизированные алгоритмы предполагают, что испытательный сигнал — случайный процесс с известными статистическими характеристиками и поэтому трудно гарантировать заданные допуски на выходы объекта.

В работе [7] сравниваются возможности методов инструментальных переменных и конечно-частотной идентификации для активной идентификации. Показано, что последний из них дает существенно большую точность при заданном времени идентификации. Это достигается благодаря самонастройке частот испытательного сигнала.



Однако, если внешние возмущения и помехи малы (либо отсутствуют), а процессы в объекте возбуждаемы, в основном, начальными условиями, то ситуация обратная: метод инструментальных переменных дает более высокую точность.

Настоящая работа посвящена динамическому алгоритму конечно-частотной идентификации, который позволяет достичь точности идентификации, близкой к методу инструментальных переменных при малых внешних возмущениях, сохраняя преимущества метода конечно-частотной идентификации, когда процессы в объекте зависят, в основном, от внешних возмущений.

### 1. ПОСТАНОВКА ЗАДАЧИ

Рассмотрим полностью управляемый асимптотически устойчивый объект, описываемый разностным уравнением

$$y(k) + d_{n-1}y(k-1) + \dots + d_0y(k-n) = b_{n-1}u(k-1) + \dots + b_0u(k-n) + f(k-1),$$

$$k = k_0, k_0 + 1, k_0 + 2, \dots, \quad (1)$$

где  $y(k)$  — выход объекта, измеряемый в момент времени  $kh \cong t$  ( $h$  — интервал дискретности измерений);  $u(k)$  — управляемый (в момент времени  $kh$ ) вход;  $f(k)$  — внешнее возмущение — неизвестная ограниченная фильтруемая фильтром Фурье [8] функция:  $|f(k)| \leq f^*$ ,  $k \geq k_0 - 1$ , где  $f^*$  — число (дополнительное ограничение на эту функцию дается в п. 2.1);  $k_0 \cong t_0/h$ ,  $t_0$  — начальное время. Коэффициенты  $d_i$  и  $b_i$ ,  $i = 0, n-1$ , неизвестны.

Управляемый вход представляет собой испытательный сигнал

$$u(k) = \sum_{i=1}^n \rho_i \sin \bar{\omega}_i (k - k_u),$$

$$k \geq k_u \geq k_0, \quad (2)$$

в котором  $\rho_i > 0$  — заданные амплитуды;  $\bar{\omega}_i = \omega_i h$ , где  $\omega_i$ ,  $i = \overline{1, n}$  — частоты — заданные числа, удовлетворяющие условиям

$$0 < \omega_i h < \pi, \quad i = \overline{1, n},$$

$$\omega_i \neq \omega_j, \quad i \neq j. \quad (3)$$

Испытательный сигнал прикладывается к объекту в момент времени  $t_u = k_u h$ , до которого функция (2) принимает нулевое значение:  $u(k) = 0$  при  $k_0 \leq k \leq k_u$ .

Задача идентификации состоит в определении оценок  $\hat{d}_i$  и  $\hat{b}_i$ ,  $i = \overline{0, n-1}$ , коэффициентов объекта (1) таких, чтобы выполнялись требования

$$\begin{cases} |\hat{d}_i - d_i| \leq \varepsilon_i^d |d_i|, \text{ если } d_i \neq 0 \text{ либо} \\ |\hat{d}_i| \leq \varepsilon_i^d, \text{ если } d_i = 0, \\ |\hat{b}_i - b_i| \leq \varepsilon_i^b |b_i|, \text{ если } b_i \neq 0 \text{ либо} \\ |\hat{b}_i| \leq \varepsilon_i^b, \text{ если } b_i = 0, \end{cases}$$

к относительной точности идентификации, в которых  $\varepsilon_i^d$  и  $\varepsilon_i^b$ ,  $i = \overline{0, n-1}$ , — заданные положительные числа.

### 2. ПРЕДВАРИТЕЛЬНЫЕ СВЕДЕНИЯ

#### 2.1. Частотные параметры объекта

**Определение 1** [8]. Набор  $2n$  чисел

$$\alpha_i \cong \text{Re}w(e^{j\bar{\omega}_i}), \quad \beta_i \cong \text{Im}w(e^{j\bar{\omega}_i}), \quad i = \overline{1, n} \quad (4)$$

— значений передаточной функции

$$w(z) = \frac{b_{n-1}z^{n-1} + \dots + b_1z + b_0}{z^n + d_{n-1}z^{n-1} + \dots + d_1z + d_0}$$

на частотах (3), называется *частотными параметрами* объекта (1). ♦

Для экспериментального определения оценок  $\hat{\alpha}_i$  и  $\hat{\beta}_i$ ,  $i = \overline{1, n}$  частотных параметров (4) ко входу объекта (1) прикладывается испытательное воздействие (2). Выход объекта подается на вход фильтра Фурье

$$\hat{\alpha}_i = \alpha_i(N) = \frac{2}{\rho_i N} \sum_{k=k_u}^{k_u+N-1} y(k) \sin \bar{\omega}_i (k - k_u),$$

$$\hat{\beta}_i = \beta_i(N) = \frac{2}{\rho_i N} \sum_{k=k_u}^{k_u+N-1} y(k) \cos \bar{\omega}_i (k - k_u),$$

$$i = \overline{1, n}, \quad (5)$$

где  $k_u h$  — момент начала фильтрации,  $Nh$  — время фильтрации,  $N = 1, 2, \dots$  Предполагается, что  $Nh$  кратно базовому периоду  $T_\delta = 2\pi/\omega_\delta$ , где  $\omega_\delta = \min(\omega_1, \omega_2, \dots, \omega_n)$ .

Решение уравнения (1) имеет следующую структуру:

$$y(k) = y_x(k) + y_u(k) + y_f(k), \quad (6)$$

где

$$y_u(k) = \sum_{i=1}^n \rho_i (\alpha_i \sin \bar{\omega}_i (k - k_u) + \beta_i \cos \bar{\omega}_i (k - k_u)),$$

компоненту  $y_f(k)$  образуют ненулевые внешние возмущения, компонента  $y_x(k)$  — исчезающая функция:  $\lim_{k \rightarrow \infty} y_x(k) = 0$ . Эта функция зависит, в частности, от ненулевых начальных условий  $y(k_0 - 1)$ ,  $y(k_0 - 2)$ , ...,  $y(k_0 - n)$ .

Пусть  $l_i^\alpha(N)$  и  $l_i^\beta(N)$  — выходы фильтра Фурье, при  $u(k) = 0$ ,  $k \geq k_0$  ( $y_u(k) = 0$ ).

**Определение 2** [8]. Возмущение  $f(k)$ ,  $k \geq k_0 - 1$  называется  $\Phi\Phi$ -фильтруемым (фильтруемым фильтром Фурье) на заданном наборе испытательных частот  $\omega_i$ ,  $i = \overline{1, n}$ , если существует время фильтрации  $N^*h$  такое, что выполняются неравенства

$$|l_i^\alpha(N)| \leq \varepsilon_i^\alpha, \quad |l_i^\beta(N)| \leq \varepsilon_i^\beta, \\ i = \overline{1, n}, \quad N \geq N^*,$$

в которых  $\varepsilon_i^\alpha$  и  $\varepsilon_i^\beta$ ,  $i = \overline{1, n}$  — заданные числа.

Если это возмущение таково, что  $\lim_{N \rightarrow \infty} l_i^\alpha(N) = \lim_{N \rightarrow \infty} l_i^\beta(N) = 0$ ,  $i = \overline{1, n}$ , то оно называется *строго  $\Phi\Phi$ -фильтруемым*. ♦

В частности, строго  $\Phi\Phi$ -фильтруемым является возмущение вида

$$f(k) = \sum_{v=0}^{\infty} f_v \sin(\bar{\omega}_v^f k + \varphi_v^f), \quad k \geq k_0 - 1, \quad (7)$$

неизвестных частот  $\bar{\omega}_v^f$ , таких что  $|\bar{\omega}_v^f| \neq |\bar{\omega}_i|$ ,  $i = \overline{1, n}$  и фаз  $\varphi_v^f$ ,  $v = \overline{0, \infty}$ . Для того чтобы функция (7) была ограниченной, ее неизвестные амплитуды должны удовлетворять при этом неравенству  $\sum_{v=0}^{\infty} |f_v| \leq f^*$ , где  $f^*$  — известное число.

$\Phi\Phi$ -фильтруемость может быть проверена экспериментально.

Оценки (5) частотных параметров сходятся [8] к истинным значениям при любых ограниченных строго  $\Phi\Phi$ -фильтруемых внешних возмущениях:

$$\lim_{N \rightarrow \infty} \alpha_i(N) = \alpha_i, \quad \lim_{N \rightarrow \infty} \beta_i(N) = \beta_i, \quad i = \overline{1, n}.$$

## 2.2. Частотные уравнения и статический алгоритм

Сформируем уравнение (так называемое тождество Безу)

$$d(q)\bar{b}(q) - b(q)\bar{d}(q) = b(q), \quad q = z^{-1}, \quad (8)$$

где искомые полиномы  $\bar{b}(q) = \bar{b}_{n-1}q + \bar{b}_{n-2}q^2 + \dots + \bar{b}_1q^{n-1} + \bar{b}_0q^n$  и  $\bar{d}(q) = \bar{d}_{n-1}q + \bar{d}_{n-2}q^2 + \dots + \bar{d}_1q^{n-1} + \bar{d}_0q^n$ .

Это уравнение имеет единственное решение

$$\bar{d}_i = d_i \text{ и } \bar{b}_i = b_i, \quad i = \overline{0, n-1}. \quad (9)$$

Разделим уравнение (8) на  $d(q)$ , положим  $q_i = e^{-j\bar{\omega}_i}$  и, учитывая выражение (4), получим следующую систему  $2n$  уравнений:

$$\sum_{v=1}^n e^{-j\bar{\omega}_i v} \bar{b}_{n-v} - (\alpha_i + j\beta_i) \sum_{v=1}^n e^{-j\bar{\omega}_i v} \bar{d}_{n-v} = \alpha_i + j\beta_i, \\ i = \overline{1, n}. \quad (10)$$

Если объект полностью управляем, а испытательные частоты удовлетворяют условиям (3), то система линейных алгебраических уравнений (10) имеет единственное решение (9).

Статический алгоритм идентификации [8–10] состоит в определении оценок частотных параметров с помощью фильтра Фурье (5) и решения частотных уравнений (10), где  $\alpha_i = \hat{\alpha}_i$  и  $\beta_i = \hat{\beta}_i$ ,  $i = \overline{1, n}$ .

Этот алгоритм имеет следующий недостаток. Пусть компонента  $y_x(k)$  в выражении (6) доминирует:

$$|y_x(k)| > |y_u(k) + y_f(k)|, \quad k = \overline{k_0, k_0 + N_1 - 1}.$$

В этом случае точность идентификации в момент времени  $(k_0 + N_1 - 1)h$  может быть мала. Ниже приводится новый алгоритм, который лишен этого недостатка.

## 3. ДИНАМИЧЕСКИЙ АЛГОРИТМ

Умножим каждое из  $N$  уравнений

$$y(k) + \sum_{v=1}^n d_{n-v} y(k-v) = \sum_{v=1}^n b_{n-v} u(k-v) + f(k-1), \\ k = \overline{k_u, k_u + N - 1} \quad (1')$$



на модулирующие [11] функции  $\sin \bar{\omega}_i(k - k_u)$ ,  $\cos \bar{\omega}_i(k - k_u)$ ,  $i = \overline{1, n}$  и после суммирования по  $k$  получим:

$$\begin{aligned} & \sum_{k=k_u}^{k_u+N-1} y(k) \sin \bar{\omega}_i(k - k_u) + \\ & + \sum_{v=1}^n d_{n-v} \sum_{k=k_u}^{k_u+N-1} y(k-v) \sin \bar{\omega}_i(k - k_u) = \\ & = \sum_{v=1}^n b_{n-v} \sum_{k=k_u}^{k_u+N-1} u(k-v) \sin \bar{\omega}_i(k - k_u) + \\ & + \sum_{k=k_u}^{k_u+N-1} f(k-1) \sin \bar{\omega}_i(k - k_u), \quad i = \overline{1, n}; \\ & \sum_{k=k_u}^{k_u+N-1} y(k) \cos \bar{\omega}_i(k - k_u) + \\ & + \sum_{v=1}^n d_{n-v} \sum_{k=k_u}^{k_u+N-1} y(k-v) \cos \bar{\omega}_i(k - k_u) = \\ & = \sum_{v=1}^n b_{n-v} \sum_{k=k_u}^{k_u+N-1} u(k-v) \cos \bar{\omega}_i(k - k_u) + \\ & + \sum_{k=k_u}^{k_u+N-1} f(k-1) \cos \bar{\omega}_i(k - k_u), \quad i = \overline{1, n}. \quad (11) \end{aligned}$$

Введем векторы  $\mathbf{y} \cong [y(k_u) y(k_u + 1) \dots y(k_u + N - 1)]^T$ ,  $\mathbf{f} \cong [f(k_u - 1) f(k_u) \dots f(k_u + N - 2)]^T$ ,  $\mathbf{y}(k) \cong [y(k-1) y(k-2) \dots y(k-n)]^T$ ,  $\mathbf{u}(k) \cong [u(k-1) u(k-2) \dots u(k-n)]^T$ ,  $\mathbf{d} \cong [d_{n-1} \dots d_1 d_0]^T$  и  $\mathbf{b} \cong [b_{n-1} \dots b_1 b_0]^T$  и матрицы

$$S \cong \frac{2}{N} \begin{pmatrix} 0 & 0 & \dots & 0 \\ \sin \bar{\omega}_1 & \sin \bar{\omega}_2 & \dots & \sin \bar{\omega}_n \\ \sin \bar{\omega}_1 2 & \sin \bar{\omega}_2 2 & \dots & \sin \bar{\omega}_n 2 \\ \vdots & \vdots & \ddots & \vdots \\ \sin \bar{\omega}_1 (N-1) & \sin \bar{\omega}_2 (N-1) & \dots & \sin \bar{\omega}_n (N-1) \end{pmatrix},$$

$$C \cong \frac{2}{N} \begin{pmatrix} 1 & 1 & \dots & 1 \\ \cos \bar{\omega}_1 & \cos \bar{\omega}_2 & \dots & \cos \bar{\omega}_n \\ \cos \bar{\omega}_1 2 & \cos \bar{\omega}_2 2 & \dots & \cos \bar{\omega}_n 2 \\ \vdots & \vdots & \ddots & \vdots \\ \cos \bar{\omega}_1 (N-1) & \cos \bar{\omega}_2 (N-1) & \dots & \cos \bar{\omega}_n (N-1) \end{pmatrix},$$

$Y \cong (\mathbf{y}(k_u) \mathbf{y}(k_u + 1) \dots \mathbf{y}(k_u + N - 1))^T$  и  $U \cong (\mathbf{u}(k_u) \mathbf{u}(k_u + 1) \dots \mathbf{u}(k_u + N - 1))^T$ .

Тогда система уравнений (11) примет вид

$$M\theta = \mathbf{v}_y + \mathbf{v}_f, \quad (12)$$

где

$$M = \begin{pmatrix} -S^T Y & S^T U \\ -C^T Y & C^T U \end{pmatrix}, \quad \mathbf{v}_y = \begin{bmatrix} S^T \mathbf{y} \\ C^T \mathbf{y} \end{bmatrix}, \quad (13)$$

$$\theta = \begin{bmatrix} \mathbf{d} \\ \mathbf{b} \end{bmatrix} \text{ и } \mathbf{v}_f = \begin{pmatrix} -S^T \mathbf{f} \\ -C^T \mathbf{f} \end{pmatrix}.$$

Здесь на пересечении  $v$ -го столбца и  $i$ -й строки у блока  $-S^T Y$  стоит элемент  $-\sum_{k=k_u}^{k_u+N-1} y(k-v) \times \sin \bar{\omega}_i(k - k_u)$ , у блока  $S^T U$  соответственно  $\sum_{k=k_u}^{k_u+N-1} u(k-v) \sin \bar{\omega}_i(k - k_u)$ , у блока  $-C^T Y$  стоит элемент  $-\sum_{k=k_u}^{k_u+N-1} y(k-v) \cos \bar{\omega}_i(k - k_u)$ , у блока  $C^T U$  соответственно  $\sum_{k=k_u}^{k_u+N-1} u(k-v) \cos \bar{\omega}_i(k - k_u)$ ;  $v$ -й элемент столбца  $S^T \mathbf{y}$  имеет вид  $\sum_{k=k_u}^{k_u+N-1} y(k) \sin \bar{\omega}_v(k - k_u)$ ,  $v$ -й элемент столбца  $C^T \mathbf{y}$  соответственно  $\sum_{k=k_u}^{k_u+N-1} y(k) \times \cos \bar{\omega}_v(k - k_u)$ ;  $v$ -й элемент столбца  $-S^T \mathbf{f}$  имеет вид  $-\sum_{k=k_u}^{k_u+N-1} f(k-1) \sin \bar{\omega}_v(k - k_u)$ ,  $v$ -й элемент столбца  $-C^T \mathbf{f}$  соответственно  $-\sum_{k=k_u}^{k_u+N-1} f(k-1) \times \cos \bar{\omega}_v(k - k_u)$ .

Элементы матрицы  $M$  и вектора  $\mathbf{v}_y$  системы уравнений (12) вычисляются по измеряемым входу и выходу объекта (1). Вектор  $\mathbf{v}_f$  неизвестен, так как  $f(k-1)$  не измеряется. Поэтому оценку  $\hat{\theta}$  вектора

параметров объекта будем искать на основе уравнения

$$M(N)\hat{\theta} = \mathbf{v}_y(N). \quad (14)$$

Очевидно, что решение  $\hat{\theta} = M^{-1}\mathbf{v}_y$  последнего существует, если  $\det M \neq 0$  и совпадает с истинным значением  $\theta$  при  $\mathbf{v}_f = 0$ .

**Утверждение 1.** Если внешнее возмущение строго ФФ-фильтруемо, то при  $N \rightarrow \infty$  матричное уравнение (14) сходится к системе  $2n$  уравнений (10). ♦

Доказательство приведено в Приложении.

Алгоритм идентификации состоит из следующих операций.

1. Формируем матрицу  $M(N)$  и вектор  $\mathbf{v}_y(N)$  системы (13) для каждого  $N$ ,  $N = 1, 2, \dots$

2. Решая систему линейных уравнений (14), вычисляем оценки  $\theta(N)$  для каждого  $N$ ,  $N = 1, 2, \dots$

#### 4. ПРИМЕР

Пусть имеется полностью управляемый асимптотически устойчивый объект, описываемый разностным уравнением

$$\begin{aligned} y(k) - 2,937y(k-1) + 2,877y(k-2) - \\ - 0,940y(k-3) = -9,712 \cdot 10^{-5}u(k-1) + \\ + 5,235 \cdot 10^{-6}u(k-2) + 9,674 \cdot 10^{-5}u(k-3) + \\ + 8,205 \cdot 10^{-7}f(k-1) + 3,231 \cdot 10^{-6}f(k-2) + \\ + 7,954 \cdot 10^{-7}f(k-3), \quad k = \overline{1, N}, \end{aligned} \quad (15)$$

с возмущением  $f(k) = \text{sign}(\sin 0,0275k)$ .

На вход объекта подается испытательный сигнал

$$u(k) = 3(\sin 0,002k + \sin 0,01k + \sin 0,05k).$$

Задача состоит в том, чтобы по известным (полученным в результате моделирования уравнения (15)) значениям  $y(k)$  и  $u(k)$  найти оценки коэффициентов передаточной функции объекта.

**Примечание 1.** Разностное уравнение (15) соответствует дифференциальному уравнению [12]  $\ddot{y} + 6,2\dot{y} + 26,2y = -2\dot{u} + 5u + f$  и получено путем дискретизации последнего с интервалом дискретности  $h = 0,01$  с. Для сравнения результатов идентификации с коэффициентами передаточной функции

$$w(s) = \frac{-2s + 5}{s^3 + 6,2s^2 + 26,2s + 5}$$

дискретное описание объекта преобразуется к непрерывному. ♦

Численные эксперименты проводились в системе MATLAB.

*Первый эксперимент.* Пусть начальные условия  $y(0) = y(-1) = 0$  и  $y(-2) = 1$ . Передаточная функция идентифицированного объекта при  $N = 75$  имеет вид:

$$\hat{w}(s) = \frac{-6,01 \cdot 10^{-3}s^2 - 1,937s + 4,905}{s^3 + 6,1995s^2 + 26,198s + 4,983}.$$

*Второй эксперимент.* Используем при тех же начальных условиях статический алгоритм идентификации из п. 2.2. Передаточная функция идентифицированного объекта при  $N = 75$  имеет вид:

$$\hat{w}(s) = \frac{566,74s^2 - 217s + 114,8}{s^3 + 2,947s^2 + 4,142s + 0,2298}.$$

**Примечание 2.** Точность идентификации в первом эксперименте с помощью статического алгоритма достигается при  $N = 94\,500$  (при этом приходится ждать 31,5 с, пока «успокоится» переходный процесс). Передаточная функция в этом случае имеет вид

$$\hat{w}(s) = \frac{0,01598s^2 - 2,083s + 5,197}{s^3 + 6,354s^2 + 27,17s + 5,209}.$$

#### ЗАКЛЮЧЕНИЕ

В этой работе построен динамический алгоритм конечно-частотной идентификации. Он позволяет получать более высокую точность идентификации в случае, когда в решении уравнения объекта доминирует компонента  $y_x(k)$ , зависящая от начальных условий. Если в решении доминирует компонента  $y_f(k)$ , то точность результатов идентификации, полученных статическим и динамическим алгоритмами, близка.

#### ПРИЛОЖЕНИЕ

Доказательство утверждения 1. Введем функции

$$c_i(\bar{\omega}_i, N) \cong \sum_{k=k_u}^{k_u+N-1} \bullet(k) e^{-j\bar{\omega}_i(k-k_u)},$$

$$c_i^{(v)}(\bar{\omega}_i, N) \cong \sum_{k=k_u}^{k_u+N-1} \bullet(k-v) e^{-j\bar{\omega}_i(k-k_u)}, \quad i, v = \overline{1, n},$$

значок  $\bullet$  в определении которых используется для компактности как один из трех символов ( $y$ ,  $u$  либо  $f$ ).

Эти функции связаны как

$$c_i^{(v)}(\bar{\omega}_i, N) = c_i(\bar{\omega}_i, N) e^{-j\bar{\omega}_i v} + \delta_i^{(v)}(\bar{\omega}_i, N), \quad (\text{П1})$$



где

$$\delta_{\cdot}^{(v)}(\bar{\omega}_i, N) = \sum_{k=k_u}^{k_u+v-1} \cdot (k-v) e^{-j\bar{\omega}_i(k-k_u)} - \sum_{k=k_u+N}^{k_u+N+v-1} \cdot (k-v) e^{-j\bar{\omega}_i(k-k_u)}, \quad i, v = \overline{1, n}.$$

Преобразование с учетом формулы Эйлера система (11) в этих обозначениях примет вид

$$c_y(\bar{\omega}_i, N) + \sum_{v=1}^n d_{n-v} c_y^{(v)}(\bar{\omega}_i, N) = \sum_{v=1}^n b_{n-v} c_u^{(v)}(\bar{\omega}_i, N) + c_f^{(1)}(\bar{\omega}_i, N), \quad i = \overline{1, n}. \quad (\text{П2})$$

Обозначим

$$w^{(N)}(e^{j\bar{\omega}_i}) = \frac{c_y(\bar{\omega}_i, N)}{c_u(\bar{\omega}_i, N)}, \quad w_f^{(N)}(e^{j\bar{\omega}_i}) = \frac{c_f(\bar{\omega}_i, N)}{c_u(\bar{\omega}_i, N)},$$

$$\delta_{d,v}^{(N)}(e^{j\bar{\omega}_i}) = \frac{\delta_y^{(v)}(\bar{\omega}_i, N)}{c_y(\bar{\omega}_i, N)}, \quad \delta_{b,v}^{(N)}(e^{j\bar{\omega}_i}) = \frac{\delta_u^{(v)}(\bar{\omega}_i, N)}{c_u(\bar{\omega}_i, N)},$$

$$\delta_{m,1}^{(N)}(e^{j\bar{\omega}_i}) = \frac{\delta_f^{(1)}(\bar{\omega}_i, N)}{c_f(\bar{\omega}_i, N)}. \quad (\text{П3})$$

Система (П2) с учетом выражения (П1) в обозначениях (П3) примет вид

$$-w^{(N)}(e^{j\bar{\omega}_i}) \sum_{v=1}^n (e^{-j\bar{\omega}_i v} + \delta_{d,v}^{(N)}(e^{j\bar{\omega}_i})) d_{n-v} + \sum_{v=1}^n (e^{-j\bar{\omega}_i v} + \delta_{b,v}^{(N)}(e^{j\bar{\omega}_i})) b_{n-v} = w^{(N)}(e^{j\bar{\omega}_i}) - w_f^{(N)}(e^{j\bar{\omega}_i})(e^{-j\bar{\omega}_i} + \delta_{m,1}^{(N)}(e^{j\bar{\omega}_i})), \quad i = \overline{1, n}. \quad (\text{П4})$$

Выпишем уравнение (10) с учетом формул (4) и (9):

$$-w(e^{j\bar{\omega}_i}) \sum_{v=1}^n e^{-j\bar{\omega}_i v} d_{n-v} + \sum_{v=1}^n e^{-j\bar{\omega}_i v} b_{n-v} = w(e^{j\bar{\omega}_i}), \quad i = \overline{1, n}. \quad (\text{П5})$$

Нетрудно видеть, что уравнения (П4) и (П5) совпадают, если

- (a)  $\lim_{N \rightarrow \infty} w^{(N)}(e^{j\bar{\omega}_i}) = w(e^{j\bar{\omega}_i})$ ,
- (b)  $\lim_{N \rightarrow \infty} w_f^{(N)}(e^{j\bar{\omega}_i}) = 0$ ,
- (c)  $\lim_{N \rightarrow \infty} \delta_{d,v}^{(N)}(e^{j\bar{\omega}_i}) = 0$ ,
- (d)  $\lim_{N \rightarrow \infty} \delta_{b,v}^{(N)}(e^{j\bar{\omega}_i}) = 0$  и
- (e)  $\lim_{N \rightarrow \infty} \delta_{m,1}^{(N)}(e^{j\bar{\omega}_i}) < \infty$ .

Доказательство каждого из этих соотношений начинается с индекса, обозначающего это соотношение.

(a) Подставим выражение (6) в формулу для  $c_y(\bar{\omega}_i, N)$ :

$$c_y(\bar{\omega}_i, N) = \sum_{k=k_u}^{k_u+N-1} y(k) e^{-j\bar{\omega}_i(k-k_u)} = c_{yx}(\bar{\omega}_i, N) + c_{yu}(\bar{\omega}_i, N) + c_{yf}(\bar{\omega}_i, N), \quad i = \overline{1, n}.$$

В силу асимптотической устойчивости объекта имеем

$$\lim_{N \rightarrow \infty} \frac{c_{yx}(\bar{\omega}_i, N)}{N} = \lim_{N \rightarrow \infty} \frac{1}{N} \sum_{k=k_u}^{k_u+N-1} y_x(k) e^{-j\bar{\omega}_i(k-k_u)} = 0, \quad i = \overline{1, n},$$

а в силу строгой ФФ-фильтруемости внешнего возмущения соответственно

$$\lim_{N \rightarrow \infty} \frac{c_{yf}(\bar{\omega}_i, N)}{N} = \lim_{N \rightarrow \infty} \frac{1}{N} \sum_{k=k_u}^{k_u+N-1} y_f(k) e^{-j\bar{\omega}_i(k-k_u)} = 0, \quad i = \overline{1, n}.$$

Нетрудно видеть, что

$$\frac{c_{yu}(\bar{\omega}_i, N)}{N} = \frac{1}{N} \sum_{k=k_u}^{k_u+N-1} y_u(k) e^{-j\bar{\omega}_i(k-k_u)} = \rho_i \left( \frac{\beta_i - j\alpha_i}{2} + \frac{\beta_i + j\alpha_i}{2N} \cdot \frac{e^{-j2\bar{\omega}_i N} - 1}{e^{-j2\bar{\omega}_i} - 1} \right) + \sum_{\substack{v=1 \\ v \neq i}}^n \rho_v \left( \frac{\beta_v - j\alpha_v}{2N} \cdot \frac{e^{j(\bar{\omega}_v - \bar{\omega}_i)N} - 1}{e^{j(\bar{\omega}_v - \bar{\omega}_i)} - 1} + \frac{\beta_v + j\alpha_v}{2N} \cdot \frac{e^{-j(\bar{\omega}_v + \bar{\omega}_i)N} - 1}{e^{-j(\bar{\omega}_v + \bar{\omega}_i)} - 1} \right).$$

Аналогично, можно показать, что

$$\frac{c_u(\bar{\omega}_i, N)}{N} = \frac{\rho_i}{2j} \left( 1 - \frac{1}{N} \cdot \frac{e^{-j2\bar{\omega}_i N} - 1}{e^{-j2\bar{\omega}_i} - 1} \right) + \sum_{\substack{v=1 \\ v \neq i}}^n \frac{\rho_v}{2jN} \left( \frac{e^{j(\bar{\omega}_v - \bar{\omega}_i)N} - 1}{e^{j(\bar{\omega}_v - \bar{\omega}_i)} - 1} + \frac{e^{-j(\bar{\omega}_v + \bar{\omega}_i)N} - 1}{e^{-j(\bar{\omega}_v + \bar{\omega}_i)} - 1} \right).$$

Таким образом,

$$\lim_{N \rightarrow \infty} w^{(N)}(e^{j\bar{\omega}_i}) = \lim_{N \rightarrow \infty} \frac{c_y(\bar{\omega}_i, N)}{c_u(\bar{\omega}_i, N)} = \lim_{N \rightarrow \infty} \frac{c_{yu}(\bar{\omega}_i, N)/N}{c_u(\bar{\omega}_i, N)/N} = \rho_i \frac{\beta_i - j\alpha_i}{2} / \frac{\rho_i}{2j} = \alpha_i + j\beta_i = w(e^{j\bar{\omega}_i}), \quad i = \overline{1, n}.$$

(b) В силу строгой ФФ-фильтруемости функция  $c_f(\bar{\omega}_i, N)$ ,  $i = \overline{1, n}$  ограничена и следовательно

$$\lim_{N \rightarrow \infty} w_f^{(N)}(e^{j\bar{\omega}_i}) = \lim_{N \rightarrow \infty} \frac{c_f(\bar{\omega}_i, N)}{c_u(\bar{\omega}_i, N)} = \lim_{N \rightarrow \infty} \frac{c_f(\bar{\omega}_i, N)/N}{c_u(\bar{\omega}_i, N)/N} = 0, \quad i = \overline{1, n}.$$

(с) Предельное равенство

$$\lim_{N \rightarrow \infty} \delta_{d,v}^{(N)}(e^{j\bar{\omega}_i}) = \lim_{N \rightarrow \infty} \frac{\delta_v^{(v)}(\bar{\omega}_i, N)}{c_y(\bar{\omega}_i, N)} =$$

$$= \lim_{N \rightarrow \infty} \frac{\delta_{yx}^{(v)}(\bar{\omega}_i, N)/N + \delta_{yu}^{(v)}(\bar{\omega}_i, N)/N + \delta_{yf}^{(v)}(\bar{\omega}_i, N)/N}{c_{yx}(\bar{\omega}_i, N)/N + c_{yu}(\bar{\omega}_i, N)/N + c_{yf}(\bar{\omega}_i, N)/N},$$

$$i, v = \overline{1, n}.$$

В силу асимптотической устойчивости объекта (1):

$$\lim_{N \rightarrow \infty} \frac{\delta_{yx}^{(v)}(\bar{\omega}_i, N)}{N} = \lim_{N \rightarrow \infty} \frac{1}{N} \sum_{k=k_u}^{k_u+v-1} e^{-j\bar{\omega}_i(k-k_u)} (y_x(k-v) -$$

$$- y_x(N+k-v) e^{-j\bar{\omega}_i N}) = 0, \quad i, v = \overline{1, n}.$$

В силу ФФ-фильтруемости внешнего возмущения:

$$\lim_{N \rightarrow \infty} \frac{\delta_{yf}^{(v)}(\bar{\omega}_i, N)}{N} = \lim_{N \rightarrow \infty} \frac{1}{N} \sum_{k=k_u}^{k_u+v-1} e^{-j\bar{\omega}_i(k-k_u)} (y_f(k-v) -$$

$$- y_f(N+k-v) e^{-j\bar{\omega}_i N}) = 0, \quad i, v = \overline{1, n}.$$

Из ограниченности функции

$$\delta_{yu}^{(v)}(\bar{\omega}_i, N) = \sum_{k=k_u}^{k_u+v-1} e^{-j\bar{\omega}_i(k-k_u)} (y_u(k-v) -$$

$$- y_u(N+k-v) e^{-j\bar{\omega}_i N}), \quad i, v = \overline{1, n},$$

следует

$$\lim_{N \rightarrow \infty} \delta_{d,v}^{(N)}(e^{j\bar{\omega}_i}) = \lim_{N \rightarrow \infty} \frac{\delta_{yu}^{(v)}(\bar{\omega}_i, N)/N}{c_{yu}(\bar{\omega}_i, N)/N} = 0, \quad i, v = \overline{1, n}.$$

(d) Из ограниченности функции  $\delta_u^{(v)}(\bar{\omega}_i, N)$  следует:

$$\lim_{N \rightarrow \infty} \delta_{b,v}^{(N)}(e^{j\bar{\omega}_i}) = \lim_{N \rightarrow \infty} \frac{\delta_u^{(v)}(\bar{\omega}_i, N)}{c_u(\bar{\omega}_i, N)} = \lim_{N \rightarrow \infty} \frac{\delta_u^{(v)}(\bar{\omega}_i, N)/N}{c_u(\bar{\omega}_i, N)/N} = 0,$$

$$i, v = \overline{1, n}.$$

(е) Из ограниченности функции  $\delta_f^{(1)}(\bar{\omega}_i, N) = f(k_u -$   
 $- 1) - f(k_u + N - 1) e^{-j\bar{\omega}_i N}$ ,  $i = \overline{1, n}$ , следует:

$$\lim_{N \rightarrow \infty} w_f^{(N)}(e^{j\bar{\omega}_i}) \delta_{m,1}^{(N)}(e^{j\bar{\omega}_i}) = \lim_{N \rightarrow \infty} \frac{\delta_f^{(1)}(\bar{\omega}_i, N)}{c_u(\bar{\omega}_i, N)} =$$

$$= \lim_{N \rightarrow \infty} \frac{\delta_f^{(1)}(\bar{\omega}_i, N)/N}{c_u(\bar{\omega}_i, N)/N} = 0, \quad i = \overline{1, n}.$$

Утверждение 1, таким образом, доказано.

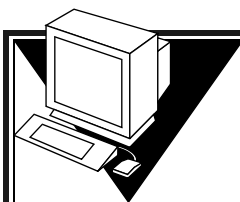
## ЛИТЕРАТУРА

1. Фомин В.Н., Фрадков А.Л., Якубович В.А. Адаптивное управление динамическими объектами. — М.: Наука, 1981. — 448 с.
2. Льюнг Л. Идентификация систем. Теория для пользователя. — М.: Наука, 1991. — 432 с.
3. Граничин О.Н., Поляк Б.Т. Рандомизированные алгоритмы оценивания и оптимизации при почти произвольных помехах. — М.: Наука, 2003. — 291 с.
4. Бунич А.Л., Бахтадзе Н.Н. Синтез и применение дискретных систем управления с идентификатором. — М.: Наука, 2003. — 232 с.
5. Alexandrov A.G. Finite-frequency method of identification // Preprints of 10th IFAC Symposium on System Identification. — Copenhagen, Denmark, 1994. — Vol. 2. — P. 523–527.
6. Wong K.Y., Polak E. Identification of linear discrete time systems using the instrumental variable approach // IEEE Trans. Automat. Control. — 1967. — Vol. AC-12. — P. 707–718.
7. Александров А.Г., Орлов Ю.Ф. Сравнение двух методов идентификации при неизвестных ограниченных возмущениях // Автоматика и телемеханика. — 2005. — Т. 66, № 10. — С. 128–147.
8. Александров А.Г. Конечно-частотная идентификация дискретных объектов // Тр. 6-го Санкт-Петербургского симпозиума по теории адаптивных систем, посвященного памяти Я.З. Цыпкина. SPAS'99. — СПб., 7–9 сентября 1999. — Т. 2. — С. 5–8.
9. Alexandrov A.G., Orlov Yu.F. Frequency adaptive control of multivariable plants // Preprints of the 15th Triennial World Congress of the IFAC. — Barcelona, Spain, 21–26 July 2002. On CD-ROM T-Th-M03-3.
10. Alexandrov A.G. Finite-frequency identification: selftuning of test signal // Preprints of the 16th IFAC World Congress. — Prague, Czech Republic, 3–8 July 2005, CD-ROM.
11. Shinbrot M. On the analysis of linear and nonlinear systems // Trans. ASME. — 1957. — Vol. 79. — P. 547–552.
12. Graebe S.F. Robust and adaptive control of an unknown plant: A benchmark of new format // Preprints of 12th World Congress of IFAC. — Sydney, Australia, 1993. — Vol. 3. — P. 165–170.

Статья представлена к публикации членом редколлегии Ф.Ф. Пащенко.

**Александров Альберт Георгиевич** — д-р физ.-мат. наук, вед. науч. сотрудник, Институт проблем управления им. В.А. Трапезникова РАН, ☎(495) 334-76-41, ✉alex7@ipu.rssi.ru,

**Орлов Юрий Феликсович** — д-р физ.-мат. наук, профессор, Электростальский политехнический институт, ☎(49657) 5-36-55, ✉yu\_orlov@mail.ru.



**Внимание!**

Наш новый адрес в Интернете: <http://pu.mtas.ru>

Редакция